

М.Р. Панасюк, Д.Л. Вознюк, В.Б. Капустяник, Б.І. Турко, В.С. Цибульський,
Г.О. Лубочкова, Ю.Г. Дубов

Фотоелектричні характеристики гетероструктур ZnO/Si

*Науково-технічний і навчальний центр низькотемпературних досліджень
Львівського Національного університету імені Івана Франка, вул. Драгоманова, 50, Львів, 79005*

Методом ВЧ-магнетронного напилення плівок оксиду цинку на монокристалічні кремнієві підкладки створено фотодіод *n-ZnO/p-Si*. Вперше досліджено фоточутливість такої гетероструктури в широкому діапазоні довжин хвиль – від 500 до 2000 нм. Встановлено, що фотодіод має максимальну чутливість на довжинах хвиль 775-882 нм. Крім цього, виявлений доволі широкий максимум в області довжин хвиль 1400-2000 нм. Це дає підстави стверджувати, що фотодіод, виготовлений на основі структури *n-ZnO/p-Si*, може бути використаний для детектування фотонів як видимої, так і інфрачервоної ділянки спектру.

Ключові слова: фотодіод, оксид цинку, тонкі плівки, ВЧ-магнетронне напилення, фоточутливість, фотострум.

Стаття постуила до редакції 20.11.2008; прийнята до друку 15.12.2009.

Вступ

В останні роки науковці приділяють значну увагу дослідженню різного типу структур на основі оксиду цинку (близько третини від загальної кількості публікацій, що стосуються застосування різних матеріалів в мікро- і наноелектроніці за останні 7 років присвячена ZnO). Оксид цинку володіє цілою низкою важливих властивостей, таких як: велика енергія зв'язку екситона (близько 60 меВ), що робить можливим спостереження УФ екситонної люмінесценції аж до температур $T \sim 550$ К [1, 2]; висока радіаційна стійкість; значні п'єзо- і піроелектричні ефекти [3]; прозорість у видимій області спектра та практично повне поглинання ультрафіолетового випромінювання [4, 5]. Область застосування ZnO охоплює металургію, космічну техніку, медицину, акусто-, мікро-, оптоелектроніку, виробництво фотоелементів, акумуляторних батарей, детекторів газів тощо.

Дослідженню фотоелектричних властивостей гетероструктур ZnO/Si, отриманих методом ВЧ-магнетронного напилення плівок оксиду цинку, присвячено чимало праць [6-9]. Зокрема, в роботі [6] автори досліджували фотодіоди на основі *n-ZnO/p-Si*, чутливі як в ультрафіолетовій області, так і у видимій ділянці спектру. На жаль, спектральний діапазон проведених досліджень не охоплював ближню інфрачервону область, яка також є важливою для прикладних застосувань гетероструктур такого типу. У зв'язку з цим у цій роботі були отримані гетероструктури ZnO/Si із застосуванням методу ВЧ-

магнетронного напилення полікристалічних плівок оксиду цинку. Основною задачею було вивчення їхніх електрофізичних характеристик і спектрів фоточутливості. Вимірювання фоточутливості гетероструктур ZnO/Si вперше проведені в широкому діапазоні довжин хвиль - від 500 до 2000 нм.

I. Методика експерименту

Гетероструктури були отримані методом ВЧ-магнетронного напилення полікристалічних плівок оксиду цинку з вихідною товщиною близько ~ 600 нм (концентрація носіїв близько $n \sim 10^{16}$ см⁻³, питомий опір ~ 2 Ом·см) на поліровані пластини монокристалічного кремнію (з концентрацією носіїв $p \sim 10^{15}$ см⁻³, питомим опором $\sim 7-25$ Ом·см) при використанні мішеней з ZnO в атмосфері аргону при тиску робочого газу (1-3)·10⁻³ мм.рт.ст і потужності генератора ВЧ-коливачів близько 100 Вт. Кремнієві підкладки перед напиленням занурювалися на 1 хв в розчин HF:H₂O = 1:7 для зняття оксидного шару з наступною промивкою в ультразвуковій ванні на протязі 10 хв. в ацетоні, метанолі і деіонізованій воді, відповідно. Температура при осадженні плівки ZnO підтримувалася стабільною ($T = 480^\circ\text{C}$). Відповідно до даних роботи [10], це – оптимальна температура, при якій на підкладці формується надзвичайно тонкий шар SiO₂ (2-3 нм), що дає змогу отримати p-n перехід з найкращими фотоелектричними властивостями, насамперед завдяки мінімальним втратам світла в широкій області спектру. В ролі омичних контактів для гетероструктур було

використано електроди з індію товщиною 0,5 мкм, які наносилися теж методом магнетронного напылення з використанням фотолітографії. Для перевірки омичності контактів до півки ZnO вивчалися вольт-амперні характеристики при увімкненні електричного поля в прямому і зворотному напрямках.

Спектри fotocутливості досліджувалися із застосуванням монохроматора типу МДР-12 з нормуванням спектра з допомогою "червоного" люмогена для області 560-600 нм, і з допомогою термобатарей в області 600-2000 нм. Фотострум реєструвався електрометром типу В7-39. Джерелом фотозбудження слугувала галогенна лампа. Сканування спектру здійснювалося в автоматичному режимі з використанням комп'ютера і відповідного програмного забезпечення.

Для дослідження ВАХ було використано кроковий двигун, який забезпечував розгортку електричного поля в межах від -10 В до +10 В. Сигнал від електрометра В7-39 через інтерфейс синхронно з відліком "кроків" двигуна подавався на комп'ютер. Як свідчить рис. 1, отримані контакти дійсно можна вважати омичними.

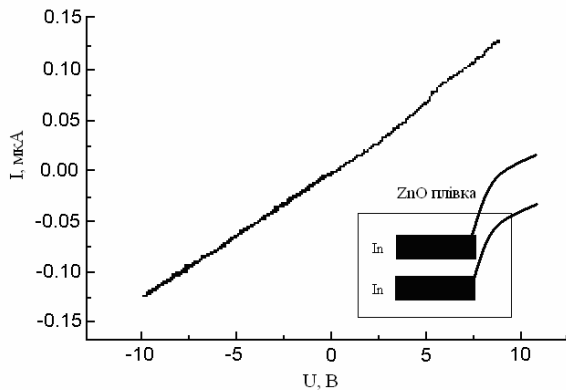


Рис. 1. Вольт-амперна характеристика, яка підтверджує омичність індієвих контактів.

II. Результати експерименту та їх обговорення

Отримані стаціонарні вольт-амперні характеристики (рис.2), свідчать про те, що гетероструктури n-ZnO/p-Si проявляють випрямляючі властивості, які можна охарактеризувати коефіцієнтом випрямлення K (відношення прямого струму до зворотного), який дорівнює $3,2 \cdot 10^3$ при напрузі 5В.

Отримані гетероструктури володіють fotocутливістю в широкій ділянці спектру - від 560 нм до 2000 нм з двома ділянками максимальної чутливості в області 850 нм і 1800 нм (рис. 3).

Фотовольтаїчний ефект в досліджуваних гетероструктурах є більш виразним при їх освітленні з боку оксиду цинку. На рис. 3 зображена приведена до однакового квантового виходу fotocутливість n-

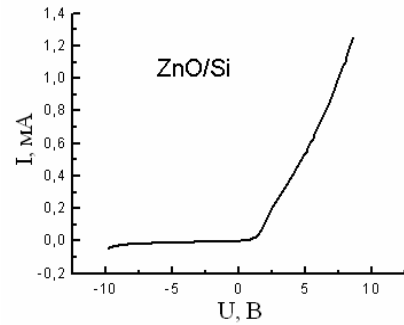


Рис. 2. Стаціонарна ВАХ гетероструктури ZnO/Si при T=300 К.

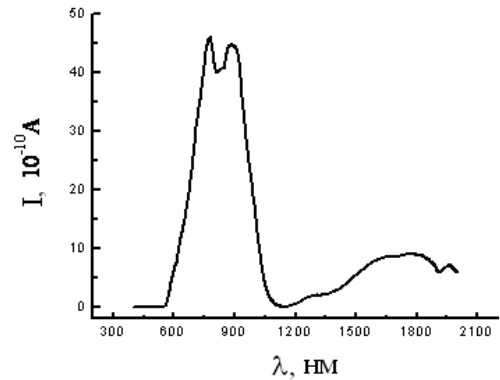


Рис. 3. Спектр fotocутливості ZnO/Si, отриманий у вентиляльному режимі і приведений до однакового квантового виходу.

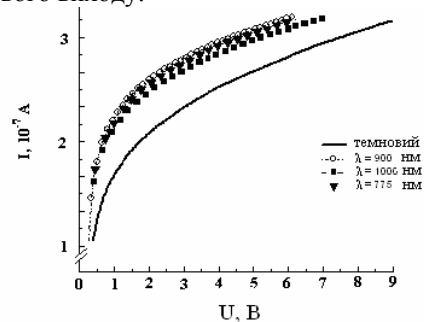


Рис. 4. Залежності фотоструму від прикладеного зворотного зміщення при освітленні ZnO/Si монохроматичним світлом 775 нм, 900 нм та 1000 нм, потужністю 1 мВт.

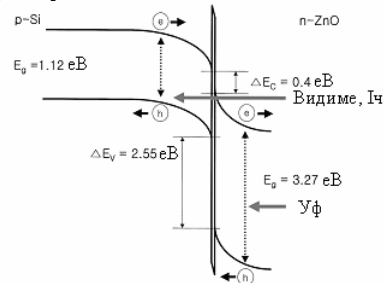


Рис. 5. Діаграма енергетичних зон при зворотному зміщенні для структури n-ZnO/p-Si.

ZnO/p-Si, виміряна у вентиляльному режимі. Смуга fotocутливості в інфрачервоній області спектру обумовлена міжзонним поглинанням у кремнієвій підкладці. Різде зростання fotocутливості

спостерігається при енергіях фотонів, більших від 1,1 eV (1130 нм). Фотони, що відповідають видимій області спектру, проходять через плівку ZnO і в основному поглинаються у збідненому шарі p-Si, створюючи пари електрон-дірка, які генерують фотострум при зворотному зміщенні [11, 12].

На рис. 4 наведено залежність фотоструму від прикладеного зворотного зміщення при освітленні діода ZnO/Si монохроматичним світлом з довжинами хвиль від 655 нм до 1000 нм. Наведені результати корелюють з висновком про те, що отриманий діод має максимум fotocутливості у спектральній області 780-890 нм (дивись для порівняння рис.3).

Для пояснення отриманих залежностей доцільно використати схематичну зонну діаграму для гетеропереходу n-ZnO/p-Si (рис. 5), де значення енергій зон для p-Si та n-ZnO взяті з робіт [13, 14].

При зворотних зміщеннях маємо:

$$J_{ph} = J_n + J_p = q\Delta n(vn) + q\Delta p(vp), \quad (1)$$

де J_{ph} – повна густина фотоструму, J_n - густина фотоструму, зумовленого електронами, J_p - густина фотоструму, зумовленого дірками, q - заряд електрона, Δn і Δp - усереднені густини фотогенерованих електронів і дірок, vn та vp – усереднені швидкості електронів і дірок у збідненому шарі. Поглинання фотонів, що відносяться до видимої і інфрачервоної областей спектру, відбувається у збідненій області p-Si шару, при цьому фотогенеровані дірки захоплюються при русі у напрямі до нейтральної по відношенню до заряду області в p-Si, що контактує з In-електродом. Фотогенеровані електрони рухаються в напрямі до індієвого контакту через збіднений шар n-ZnO. n/p - гетероперехід має тонкий шар SiO₂ (близько 3 нм) між n-ZnO і p-Si, у зв'язку з чим фотоелектрони зустрічають на своєму шляху бар'єр, в той час як для фотогенерованих дірок в p-Si бар'єр відсутній. Це означає, що J_{ph} визначається в основному як $J_p = q\Delta p(vp)$ у збідненому шарі p-Si. В цій області середня швидкість дірок vp буде [13]:

$$v_{p(p-Si)} = \mu_h E_{p-Si} = \mu_h (V_{p-Si}/2X_p), \quad (2)$$

$$\text{де } X_p \approx (2\epsilon_{Si} V_{p-Si}/qN_a)^{1/2}. \quad (3)$$

Таким чином,

$$v_{p(p-Si)} \approx \mu_h (qN_a V_{p-Si}/2\epsilon_{Si})^{1/2}, \quad (4)$$

$$J_{ph} \approx J_p = q\Delta p \mu_h (qN_a V_{p-Si}/2\epsilon_{Si})^{1/2}, \quad (5)$$

і

$$\Delta p = \Delta p_0 \delta_{pen} [1 - \exp(-X_p/\delta_{pen})]/X_p, \quad (6)$$

де μ_h – рухливість дірок в p-Si, E_{p-Si} – усереднене поле в збідненій області p-Si, V_{p-Si} – спад потенціалу в цій області, N_a – рівень легування акцепторами в Si, ϵ_{Si} – діелектрична стала для Si, Δp_0 – початкова густина фотогенерованих дірок на поверхні p-Si, δ_{pen} – глибина проникнення світла і X_p – товщина збідненого шару в p-Si. Відповідно, J_{ph} та J_p залежать від Δp і від кореня квадратного з V_{p-Si} , згідно з

рівнянням (5), в той час як Δp залежить від X_p , δ_{pen} і Δp_0 , які є функціями зворотного зміщення, енергії фотонів і потужності світла, відповідно, у випадку фотонів, що відносяться до видимої області спектру. Якщо об'єднати рівняння (3), (5) і (6), то можна стверджувати, що у початковому стані (малі X_p та V_{p-Si}) J_{ph} швидко росте з ростом кореня з V_{p-Si} , але потім починає насичуватись при деякому критичному зворотному зміщенні, коли X_p прямує до δ_{pen} .

Вперше виявлена помітна fotocутливість в діапазоні 1400-2000 нм може бути пояснена переходом електронів із валентної зони на дрібні акцепторні рівні, котрі утворюються в процесі нанесення шару ZnO. На основі літературних даних можна зробити висновок, що відповідальним за вказані процеси в першу чергу є рівень вакансій цинку V_{Zn} з енергією 0,7 eV, відрахованої від стелі валентної зони [15].

Висновки

Методом ВЧ-магнетронного напилення полікристалічних плівок оксиду цинку на монокристалічні пластини p-Si, оброблені відповідними хімічними реагентами, отримані структури є fotocутливими в областях спектру 560-2000 нм із максимумами чутливості на довжинах хвиль 775 і 882 нм. Крім цього, виявлений доволі широкий максимум в області довжин хвиль 1400-2000 нм. Це дає підстави стверджувати, що фотодіод, виготовлений на основі структури n-ZnO/p-Si, може бути використаний для детектування фотонів як видимої, так і інфрачервоної ділянок спектру.

Робота виконана при підтримці Міністерства освіти і науки України.

Панасюк М.Р. - науковий співробітник Науково-технічного і навчального центру низькотемпературних досліджень (НТНЦНД).

Вознюк Д.Л. – аспірант кафедри фізики твердого тіла ЛНУ імені Івана Франка.

Капустяник В.Б. - доктор фіз.-мат. наук, директор Науково-технічного і навчального центру низькотемпературних досліджень (НТНЦНД), завідувач кафедри фізики твердого тіла.

Турко Б.І. - завідувач лабораторії НТНЦНД.

Цибульський В.С. – інженер НТНЦНД.

Лубочкова Г.О. - канд. фіз.-мат. наук, науковий співробітник НТНЦНД.

Дубов Ю.Г. - науковий співробітник НТНЦНД.

[1] D.M. Bagnall, Y.F. Chen, Z. Zhu at al. High temperature excitonic stimulated emission from ZnO epitaxial layers // *Appl. Phys. Lett.*, **73**, pp. 1038-1040 (1998).

[2] D.M. Bagnall, Y.F. Chen, M.Y. Shen at al. Room temperature excitonic stimulated emission from zinc oxide epilayers grown by plasma assisted MBE // *J. Cryst. Growth*, **184/185**, pp. 605-609 (1998).

- [3] U. Ozgur, Ya. I. Alivov, C. Liu at al. A comprehensive review of ZnO materials and devices // *J. Appl. Phys.*, **98**, pp. 041301- 041404 (2005).
- [4] B.I. Turko, V.B. Kapustianyk, V.P. Rudyk at al. Investigation of the intrinsic absorption edge in nanostructured polycrystalline zinc oxide thin films // *Journal of Applied Spectroscopy*, **73**, pp. 222-226 (2006).
- [5] Б.И. Турко, В.Б. Капустянык, В.П. Рудык и др. Проявление размерного эффекта в поведении края собственного поглощения наноструктурированных поликристаллических тонких пленок оксида цинка // *ЖПС*, **74**, сс. 274-276 (2007).
- [6] I-S. Jeong, J-H. Kim, S. Im. Ultraviolet-enhanced photodiode employing n-ZnO/p-Si structure // *Appl. Phys. Lett.*, **83**, pp. 2946-2948 (2003).
- [7] H. Ohta, M. Hirano, K. Nakahara at al. Fabrication and photoresponse of a pn-heterojunction diode composed of transparent oxide semiconductors, p-NiO and n-ZnO // *Appl. Phys. Lett.*, **83**, pp. 1029-1031 (2003).
- [8] S.E. Nikitin, Yu.A. Nikolaev, I.K. Polushina at al. Photoelectric phenomena in ZnO:Al-pi>-Si heterostructures // *Semiconductors*, **37**, pp. 1291- 1295 (2003).
- [9] S.E. Nikitin, Yu.A. Nikolaev, V.Yu. Rud at al. Oscillations of induced photopleochroism in ZnO/GaAs heterojunctions // *Semiconductors*, **38**, pp. 393-396 (2004).
- [10] J.Y. Lee, Y.S. Choi, W.H. Choi at al. Characterization of films and interfaces in n-ZnO/p-Si photodiodes // *Thin Solid Films*, **420**, pp. 112-116 (2002).
- [11] Y.S. Choi, J.Y. Lee, W.H. Choi at al. Optimum Thickness of SiO₂ Layer Formed at the Interface of N-ZnO/P-Si Photodiodes // *Jpn. J. Appl. Phys.*, **41**, pp. 7357-7358 (2002).
- [12] Y.S. Choi, J.Y. Lee, S. Im. Photoresponse characteristics of n-ZnO/p-Si heterojunction photodiodes // *J. Vac. Sci. Technol.*, **B 20**, 2384 (2002).
- [13] S.M. Sze. *Physics of Semiconductor Devices*, 2nd ed. Wiley, New York, p. 50, (1981).
- [14] K.B. Sundaram and A. Khan. Work function determination of zinc oxide films // *J. Vac. Sci. Technol.*, **A 15**, pp. 428-431 (1997).
- [15] S.A. Lima, F.A. Sigoli, M. Jafelicci , et al. Luminescent properties and lattice defects correlation on zinc oxide // *Intern. J. of Inorganic Materials*, **3**, pp. 749-754 (2001).

M.P. Panasiuk, D.L. Voznyuk, V.B. Kapustianyk, B.I. Turko, V.S. Tsybulskyy,
G.O. Lubochkova, Y.H. Dubov

Photoelectric Characteristics of ZnO/Si Heterostructures

*Scientific-Technical and Educational Center of Low Temperature Studies,
Ivan Franko National University of Lviv 50, Dragomanova Str., Lviv, 79005, Ukraine*

n-ZnO/p-Si photodiode has been created by the method of RF-magnetron sputtering of zinc oxide on the single crystalline silicon substrate. For the first time the photosensitivity of such a heterostructure was studied in the wide spectral range – from 500 to 2000 nm. It was found that the photodiode possesses maximum of photosensitivity in the range of 775-882 nm. Besides, the quite broad maximum in the range of 1400-2000 nm has been found. This allows to conclude that the photodiode on the basis of *n-ZnO/p-Si* structure can be used for photon detection both in visible and infrared spectral regions.